

**Объяснение аномального смещения перигелия  
орбиты Меркурия в рамках общей теории  
относительности**

Калашников Михаил, Б03-202

## 1. Обнаружение эффекта

В 1859 французский математик Урбен Жан Жозеф Леверье опубликовал работу «Новое определение орбиты Меркурия и ее возмущений», в которой предельно строго и подробно изучил движение ближайшей к Солнцу планеты. Главным результатом работы была аномальная прецессия линии апсид орбиты Меркурия, которая не могла быть объяснена в рамках ньютоновой механики.

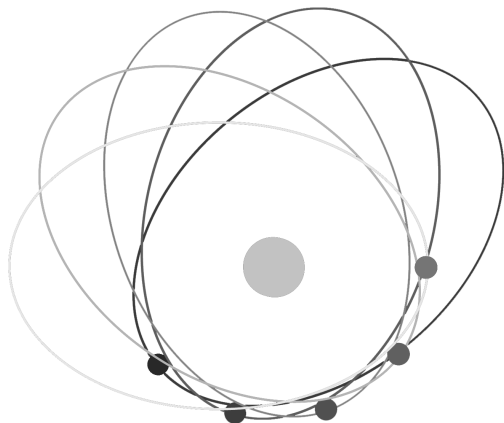


Рис. 1: Схематичное представление прецессии линии апсид орбиты в задаче Кеплера

Наблюдаемая прецессия за столетие составляла  $570''$ . Воздействие остальных планет Солнечной системы и несферичности Солнца могло объяснить только  $526.7''$  прецессии. Таким образом, разница составила около  $43''$  за столетие.

Для решения проблемы выдвигались различные теории, в основном относящиеся к одной из двух групп:

- гипотезы, объясняющие смещение некоторой необнаруженной материей внутри орбиты Меркурия;
- теории гравитационного тяготения, отличающиеся от ньютоновской.

Самое элегантное и точное объяснение было найдено Альбертом Эйнштейном 18 ноября 1915 года. В рамках общей теории относительности Эйнштейн приблизительно рассчитал аномальное отклонение и смог получить практически точное совпадение с наблюдаемыми  $43''$  за столетие.

## 2. Движение частицы в метрике Шварцшильда

В специальной теории относительности показано, что расстояние между двумя точками пространства-времени задается метрикой

$$ds^2 = c^2 dt^2 - dx^2 - dy^2 - dz^2$$

в декартовых координатах. В сферических метрика может быть записана как

$$ds^2 = c^2 dt^2 - dr^2 - r^2 d\theta^2 - r^2 \sin^2 \theta d\varphi^2$$

Эта формула справедлива в отсутствие кривизны пространства-времени. В общей теории относительности пространство времени искривлено. Согласно ей, пространство-время в гравитационном

поле сферически-симметрично распределенной материи описывается метрикой Шварцшильда

$$ds^2 = \left(1 - \frac{r_s}{r}\right) c^2 dt^2 - \frac{dr^2}{1 - \frac{r_s}{r}} - r^2 d\theta^2 - r^2 \sin^2 \theta d\varphi^2$$

где  $r_s = \frac{2\mu}{c^2}$  – радиус Шварцшильда, а  $\mu = GM$  – гравитационный параметр, являющийся произведением гравитационной постоянной и массы тела. При отсутствии массы  $M$  метрика Шварцшильда переходит в метрику неискривленного пространства.

В соответствии с общей теорией относительности, свободные частицы пренебрежимо малой массы движутся по геодезическим линиям пространства-времени.

Ввиду сферической симметрии можно ограничиться рассмотрением движения в плоскости  $\theta = \frac{\pi}{2}$ :

$$ds^2 = \left(1 - \frac{r_s}{r}\right) c^2 dt^2 - \frac{dr^2}{1 - \frac{r_s}{r}} - r^2 d\varphi^2$$

Данный вид метрики не зависит от координат  $t$  и  $\varphi$ . Из этого следует, что существует два интеграла движения (доказательство представлено в конце работы)

$$r^2 \frac{d\varphi}{d\tau} = \frac{L}{m}$$

$$\left(1 - \frac{r_s}{r}\right) \frac{dt}{d\tau} = \frac{E}{mc^2}$$

где  $L$  – момент импульса,  $E$  – полная энергия пробного тела массой  $m$ .

Поделим метрику на квадрат дифференциала собственного времени  $d\tau^2$ , учитывая, что  $ds \equiv cd\tau$ , и подставим первые интегралы

$$c^2 = \left(1 - \frac{r_s}{r}\right) c^2 \left(\frac{dt}{d\tau}\right)^2 - \frac{1}{1 - \frac{r_s}{r}} \left(\frac{dr}{d\tau}\right)^2 - r^2 \left(\frac{d\varphi}{d\tau}\right)^2$$

$$\left(\frac{dr}{d\tau}\right)^2 = \frac{E}{m^2 c^2} - \left(1 - \frac{r_s}{r}\right) \left(c^2 + \frac{L^2}{m^2 r^2}\right)$$

Используя определение радиуса Шварцшильда, получим

$$\frac{1}{2} m \left(\frac{dr}{d\tau}\right)^2 = \left[ \frac{E^2}{2mc^2} - \frac{1}{2} mc^2 \right] + \frac{\mu m}{r} - \frac{L^2}{2mr^2} + \frac{\mu L^2}{c^2 mr^3}$$

Это соответствует движению нерелятивистской частицы с энергией  $\frac{E^2}{2mc^2} - \frac{1}{2} mc^2$  в радиально симметричном эффективном потенциальном поле

$$U_{\text{эфф}}(r) = -\frac{\mu m}{r} + \frac{L^2}{2mr^2} - \frac{\mu L^2}{c^2 mr^3}$$

В классической механике движение в центральном поле описывается потенциалом

$$U_{\text{эфф}}(r) = -\frac{\mu m}{r} + \frac{L^2}{2mr^2}$$

Таким образом, третий член, обратно пропорциональный кубу расстояния до гравитирующего тела, не имеет аналога в классической задаче Кеплера.

Введем обозначение  $a = \frac{L}{mc}$ . Тогда, используя определение радиуса Шварцшильда, потенциал можно записать в безразмерном виде

$$U_{\text{эфф}}(r) = \frac{mc^2}{2} \left[ -\frac{r_s}{r} + \frac{a^2}{r^2} - \frac{r_s a^2}{r^3} \right]$$

### 3. Круговые орбиты и их устойчивость

Рассмотрим круговые орбиты в рамках данного эффективного потенциала. Очевидно, что при движении по круговой орбите, эффективная радиальная сила, действующая на частицу, должна равняться нулю.

$$F = -\frac{dU_{\text{эфф}}}{dr} = -\frac{mc^2}{2r^4} [r_s r^2 - 2a^2 r + 3r_s a^2] = 0$$

Решением данного квадратного уравнения являются два радиуса

$$r_{\text{внешн}} = \frac{a^2}{r_s} \left( 1 + \sqrt{1 - \frac{3r_s^2}{a^2}} \right)$$

$$r_{\text{внутр}} = \frac{a^2}{r_s} \left( 1 - \sqrt{1 - \frac{3r_s^2}{a^2}} \right) = \frac{3a^2}{r_{\text{внешн}}}$$

Внутренний радиус  $r_{\text{внутр}}$  является точкой максимума потенциала, и следовательно является неустойчивым положением при любых значениях параметра  $a$ . Внешний радиус  $r_{\text{внешн}}$ , наоборот, является радиусом стабильных орбит.

Условием перехода к классическому случаю является  $r_s \ll a$ . Это условие можно переписать в виде

$$\frac{r_s}{a} = \frac{\mu}{c^2} \frac{mc}{L} = \frac{\mu m}{Lc} \sim \frac{\mu m}{m v r c} = \frac{\mu}{v r c} \sim \frac{v^2}{v c} = \frac{v}{c} \ll 1$$

В данном приближении внешний устойчивый радиус  $r_{\text{внешн}}$

$$r_{\text{внешн}} \approx \frac{a^2}{r_s} \left( 1 + \left( 1 - \frac{3r_s^2}{2a^2} \right) \right) = \frac{a^2}{r_s} \left( 2 - \frac{3r_s^2}{2a^2} \right) \approx \frac{2a^2}{r_s}$$

Подставляя определения  $a$  и  $r_s$  можно получить классическую формулу для радиуса круговой орбиты.

$$r_{\text{внешн}} \approx \frac{L^2}{\mu m^2} = \frac{v^2 r_{\text{внешн}}^2}{\mu} = \frac{\omega_\varphi^2 r_{\text{внешн}}^4}{\mu}$$

$$r_{\text{внешн}}^3 \approx \frac{\mu}{\omega_\varphi^2}$$

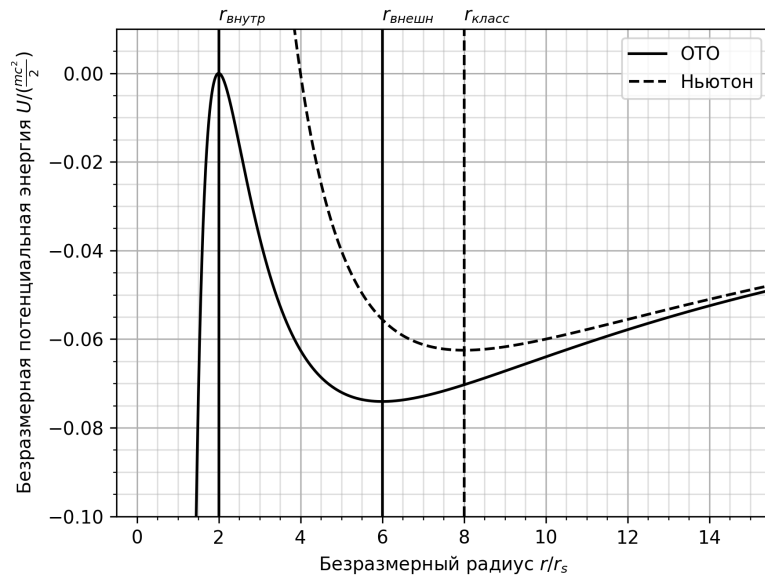


Рис. 2: Сравнение эффективных потенциалов.  $a/r_s = 2$

На графике выше представлены зависимости потенциальной энергии в обеих теориях.

$$\left( \frac{U_{\text{эфф}}(r/r_s)}{\frac{mc^2}{2}} \right)_{\text{ОТО}} = -\frac{1}{r/r_s} + \frac{a^2}{r_s^2} \frac{1}{(r/r_s)^2} - \frac{a^2}{r_s^2} \frac{1}{(r/r_s)^3}$$

$$\left( \frac{U_{\text{эфф}}(r/r_s)}{\frac{mc^2}{2}} \right)_{\text{класс}} = -\frac{1}{r/r_s} + \frac{a^2}{r_s^2} \frac{1}{(r/r_s)^2}$$

Можно отметить, что при  $r/r_s \gg 1$  функции совпадают. При переходе к классическому приближению графики так же начинают сливаться, а  $r_{\text{внешн}}$  переходит в  $r_{\text{класс}}$ .

## 4. Прецессия эллиптических орбит

Рассмотрим малое отклонение вдоль радиуса от устойчивой круговой орбиты. Возвращающая сила будет равна

$$F(r + \Delta r)|_{r_{\text{внешн}}} \approx \frac{dF}{dr}|_{r_{\text{внешн}}} \Delta r = -\frac{d^2 U_{\text{эфф}}}{dr^2}|_{r_{\text{внешн}}} \Delta r$$

Тогда гармонические колебания около положения равновесия  $r_{\text{внешн}}$  будут происходить с угловой частотой

$$\omega_r^2 = \frac{1}{m} \frac{d^2 U_{\text{эфф}}}{dr^2}|_{r_{\text{внешн}}} = \frac{a^2 c^2}{r_{\text{внешн}}^4} \sqrt{1 - \frac{3r_s^2}{a^2}} \approx \omega_\varphi^2 \sqrt{1 - \frac{3r_s^2}{a^2}}$$

$$\omega_r \approx \omega_\varphi \sqrt[4]{1 - \frac{3r_s^2}{a^2}} \approx \omega_\varphi \left( 1 - \frac{3r_s^2}{4a^2} \right)$$

Разность данных угловых скоростей будет соответствовать скорости поворота линии апсид эллиптической орбиты. За один «период» линия апсид орбита повернется на угол

$$\delta\varphi = T(\omega_\varphi - \omega_r) \approx T\omega_\varphi \left( 1 - 1 + \frac{3r_s^2}{4a^2} \right) = 2\pi \frac{3r_s^2}{4a^2} = \frac{6\pi\mu^2 m^2}{c^2 L^2}$$

Из классической небесной механики известно, что

$$\frac{L}{m} = \sqrt{\mu p}$$

где  $p$  – фокальный параметр эллипса. Он может быть выражен через кеплеровы элементы как  $p = A(1 - e^2)$ . Здесь  $A$  – большая полуось,  $e$  – эксцентриситет. Подставим данное соотношение в  $\delta\varphi$ .

$$\delta\varphi \approx \frac{6\pi\mu}{c^2 A(1 - e^2)}$$

Данное выражение является наиболее известной приближенной формулой прецессии. Подставляя параметры орбиты Меркурия, получим  $\delta\varphi_\text{М} \approx 0.1035''$ . За столетие эта величина составляет недостающие 42.98''.

## 5. Вывод

Общая теория относительности Эйнштейна полностью объяснила расхождения в движении Меркурия, обнаруженные Леверье. А сама задача явилась одним из многочисленных подтверждений ОТО. Позже были измерены аномальные прецессии перицентров орбит остальных планет солнечной системы, некоторых астероидов и даже тесных двойных звездных систем. Значения для различных тел варьируются от сотых долей угловой секунды до десятков градусов в год, но все с высокой точностью подтверждаются теорией Эйнштейна.

## 6. Доказательство существования первых интегралов

Как упоминалось ранее, согласно общей теории относительности свободные частицы с пренебрежимо малой массой движутся по геодезическим линиям в пространстве-времени. Последние определяются как кривые, малые вариации которых не изменяют их длину. Это можно записать как

$$0 = \delta s = \delta \int ds = \delta \int \sqrt{\left(\frac{ds}{d\tau}\right)^2} d\tau$$

Производная  $\frac{ds}{d\tau}$  была выражена ранее. Её квадрат может быть представлен как

$$\left(\frac{ds}{d\tau}\right)^2 = c^2 = \left(1 - \frac{r_s}{r}\right) c^2 \left(\frac{dt}{d\tau}\right)^2 - \frac{1}{1 - \frac{r_s}{r}} \left(\frac{dr}{d\tau}\right)^2 - r^2 \left(\frac{d\varphi}{d\tau}\right)^2$$

Занесем вариацию под интеграл

$$0 = \delta \int \sqrt{\left(\frac{ds}{d\tau}\right)^2} d\tau = \int \frac{\delta \left(\frac{ds}{d\tau}\right)^2}{2\sqrt{\left(\frac{ds}{d\tau}\right)^2}} d\tau = \int \frac{\delta \left(\frac{ds}{d\tau}\right)^2}{2c} d\tau = \frac{1}{2c} \delta \int \left(\frac{ds}{d\tau}\right)^2 d\tau$$

Решение вариационной задачи задаётся уравнениями Лагранжа

$$\frac{d}{d\tau} \left( \frac{\partial \left(\frac{ds}{d\tau}\right)^2}{\partial \left(\frac{dx_i}{d\tau}\right)} \right) = \frac{\partial \left(\frac{ds}{d\tau}\right)^2}{\partial x_i}$$

Применим уравнение Лагранжа к координатам  $t$  и  $\varphi$

$$\frac{d}{d\tau} \left[ 2c^2 \left(1 - \frac{r_s}{r}\right) \frac{dt}{d\tau} \right] = 0$$

$$\frac{d}{d\tau} \left[ 2r^2 \frac{d\varphi}{d\tau} \right] = 0$$

Следовательно, следующие величины являются интегралами движения

$$\frac{E}{mc^2} = \left(1 - \frac{r_s}{r}\right) \frac{dt}{d\tau}$$

$$\frac{L}{m} = r^2 \frac{d\varphi}{d\tau}$$

Переход к классическому приближению позволяет показать, что данные первые интегралы в действительности являются энергией и моментом импульса пробного тела